

1. При  $1 \leq p < 2$ .

1. Нахождение приближенного МНК-решения

$$V = Q^{-1}B^T K,$$

$$K = (BQ^{-1}B^T)^{-1}W.$$

2. Вычисление элементов весовой матрицы по (3).

3. Нахождение коррелат  $K$  и поправок  $V$

$$K = (BC^{-1}B^T)^{-1}W;$$

$$V = C^{-1}B^T K.$$

4. Проверка условия

$$\frac{\|k_{n+1} - k_n\|}{\|k_n\|} < \varepsilon. \quad (6)$$

При невыполнении (6) этапы 2 и 3 повторяются с использованием последних полученных значений  $K$  и  $V$ .

II. При  $p \geq 2$ .

Пункты 1, 2 и 3 аналогичны описанным выше.  
4. Для обеспечения сходимости процесса итераций выполняется корректировка полученных коррелат

$$K = (I - G)K + G\hat{K},$$

после чего вычисляется матрица

$$R = CV = A^T K.$$

Элементы новой весовой матрицы  $C$  запиши так:

$$c_{ij} = \begin{cases} \frac{p-2}{|r_i|^{p-1}}, & i=j; \\ 0, & i \neq j. \end{cases} \quad (7)$$

Рекуррентный процесс повторяется до достижения заданной точности коррелат.

5. Окончательные значения вероятнейших поправок в измеренные величины вычисляются по (5).

Данный процесс эквивалентен методу Ньютона поиска условного минимума функции. Сходимость ИМНК в этом случае гарантируется теоремой 3 из [3].

В таблице приведены результаты уравнивания геодезического четырехугольника [1] методом  $L_p$ -оценок. Для проверки описанного алгоритма решение выполнялось при различных значениях  $p$  коррелятным и параметрическим способом по методу  $L_p$ -оценок с точностью  $\varepsilon = 0.001$ . Правильность приведенных выше формул подтверждилась получением тождественных результатов (в пределах заданной точности) при уравнивании сети обеими способами метода  $L_p$ -оценок \*.

\* Следует заметить, что предварительный статистический анализ в данном примере не проводился из-за отсутствия у автора необходимых данных.

## Результаты уравнивания геодезического четырехугольника

Методом  $L_p$ -оценок

Параметрический метод с уклонением			Коррелятный метод с поправками		
1	2	3	1	2	3
Число итераций			Число итераций		
2	1	4	3	1	30
1	-0.011	+0.093	+0.204	-0.011	+0.093
2	+0.007	+0.083	-0.156	+0.007	-0.083
3	+0.628	+0.723	+0.764	+0.628	+0.723
4	+0.038	+0.107	+0.213	+0.038	+0.107
5	+0.927	+0.852	+0.780	+0.927	+0.853
6	-1.273	-1.083	-0.959	-1.273	-1.083
7	-0.392	-0.576	-0.733	-0.392	-0.576
8	-0.524	-0.634	-0.712	-0.534	-0.712

Таким образом, использование аддитивного метода уравнивания (метода  $L_p$ -оценок) для целей геодезии позволяет видоизменять в зависимости от статистических свойств ошибок измерений требование, предъявляемое к условию, при котором выполняется уравнивание. Получаемые при этом оценки будут несмешанными, состоятельными и эффективными, а сам алгоритм, включающий статистический анализ, согласование теоретического и эмпирического распределений ошибок и вычисление оценок, достаточно просто реализуемый на ЭВМ.

Список литературы: 1. Монин И. И. Единий алгоритм составления условных уравнений в геодезических сетях. — Геодезия, картография и аэрофотосъемка, 1980, вып. 35. 2. Мицюков В. И., Кутико В. Л. Метод обработки измерений — М.: Сов. радио, 1976. 3. Fletcher R., Grant J. A., Hebbden M. D. The calculation of linear best  $L_p$ -approximations. — Computer Journal, 1971, v. 14, № 3.

Статья поступила в редакцию 26.05.87

УДК 528.2

## ОПРЕДЕЛЕНИЕ РАССТОЯНИЯ И АЗИМУТА ПРИ ИЗУЧЕНИИ СПЕКТРАЛЬНЫХ ХАРАКТЕРИСТИК ПОВЕРХНОСТНЫХ СЕЙСМИЧЕСКИХ ВОЛН

Изучение современных движений земной поверхности представляет одну из актуальных проблем наук о Земле. Наиболее активное проявление движений наблюдается в зонах сочленения различных структур земной коры, в областях нарушения разломов земных недр и проявления современной динамики.

Наиболее эффективными для изучения физических свойств и строения среды на значительных глубинах являются сейсмические методы, которые основаны на изучении параметров сейсмических колебаний. Изучение времен пробега отдельных типов сейсмических волн и их скоростей распространения дает возможность определять строение земной коры и более глубоких слоев Земли.

Для изучения физических свойств неоднородных сред, кроме упругих модулей, необходимо знать и реологические характеристики вмещающих пород, которые могут быть определены через параметры затухания сейсмических волн. Параметры сейсмических волн зависят от спектрально-временных характеристик источника излучения, условий регистрации и от особенностей строения и физических свойств среды, в которой они распространяются. Изменение сейсмического сигнала за областью источника определяется поглощением, сопровождающимся дисперсией скоростей и рассеянием на малых неоднородностях.

Спектральную характеристику поглощения среды и дисперсию скоростей можно получить из комплексных спектров поверхностных волн. Для волн Лява, например, спектры смешений запишем в виде (1)

$$\bar{S}_n(\omega) = \frac{N}{Vr} \Phi(\omega) \bar{V}_n(\omega, h) e^{-ik(\omega)r}, \quad (1)$$

где  $\Phi(\omega) = \int_{-\infty}^{\infty} f(t) e^{i\omega t} dt$  — временной спектр источника;

$N = \sqrt{2\pi^3}$ ;  $\bar{V}(\omega, h)$  — при заданной глубине  $h$  модель источника имеет смысл частотных характеристик среды для  $n$ -х гармоник волн Лява. Множитель  $1/Vr$  описывает эффект ослабления амплитуды за счет геометрического расхождения на расстоянии  $r$ . Дополнительное поглощение сейсмической энергии может возникнуть при отклонениях от идеальной упругости среды, что учитывается введением коэффициента поглощения  $a(\omega)$ . Комплексное волновое число  $k(\omega) = k(\omega) - ia(\omega)$ , где  $k(\omega) = \omega/v_\phi(\omega)$ ;  $v_\phi(\omega)$  — фазовая скорость поверхности волн;  $\omega$  — частота;  $r$  — расстояние от источника излучения.

Поскольку амплитуды поверхностных волн затухают экспоненциально с глубиной и энергия колебаний распространяется вдоль слоев земной коры, то можно определить по параметрам поверхностных волн характеристики среды на участке между двумя пунктами регистрации определится из отношения комплексных спектров, зарегистрированных в этих пунктах волн

$$\bar{V}(\omega) = \frac{\bar{S}_2(\omega)}{\bar{S}_1(\omega)} = \frac{\sqrt{\tau_1}}{\sqrt{\tau_2}} U(\omega) e^{-\left[ \frac{\omega}{v_\phi(\omega)} r_2 - \frac{\omega}{v_\phi(\omega)} r_1 \right]}. \quad (2)$$

Здесь  $\bar{S}_1(\omega)$  и  $\bar{S}_2(\omega)$  — комплексные спектры колебаний в пунк-

тах наблюдений 1 и 2;  $r_1$  и  $r_2$  — соответственно расстояния до этих пунктов от источника излучения;  $U(\omega)$  описывает зависимость от частоты коэффициентов прохождения и отражения на неоднородностях среды, спектральную функцию рассеяния на этом участке и т. п. В случае однородной диссилирующей среды этот член отсутствует.

Комплексные спектры  $\bar{S}_1(\omega)$  и  $\bar{S}_2(\omega)$  определяем из преобразования Фурье записей поверхностных волн  $f_1(t)$  и  $f_2(t)$ . По сигналу и косинус-трансформантам находим модуль и аргумент преобразования.

Выражение для комплексного спектра будет

$$\bar{S}(\omega) = |S(\omega)| e^{i\Phi(\omega)}, \quad (3)$$

где  $|S(\omega)|$  — амплитудный, а  $\Phi(\omega)$  — фазовый спектры. Для (2) и (3) для двух пунктов наблюдения, которые находятся на одном большом круге с источником излучения, определим разовую скорость и коэффициент затухания:

$$v_\phi(\omega) = \frac{\omega \Delta r}{\Delta \Phi + 2\pi n}, \quad (4)$$

где  $\Delta \Phi + 2\pi n = \varphi_2(\omega) - \varphi_1(\omega)$  — разность фазовых спектров в пунктах 1 и 2 для частоты  $\omega$ ;  $n$  — целое число, указывающее, сколько длин волн укладывается на отрезке между пунктами наблюдений.

$$z(\omega) = -\frac{1}{\Delta r} \ln \frac{|S_2(\omega)|}{|S_1(\omega)|} \sqrt{\frac{\sin \Delta_2}{\sin \Delta_1} \frac{r_2}{r_1}}. \quad (5)$$

Здесь  $\Delta_1$  и  $\Delta_2$  — угловые расстояния соответственно 1 и 2 пунктов наблюдения от источника.

Как видно из (4) и (5), для определения фазовой скорости и коэффициента поглощения необходимо знать расстояния от источника излучения до пунктов регистрации, а также расстояние между соответствующими пунктами наблюдения. Расстояния от источника до пунктов наблюдения достигают значений от 2000...3000 до 10 000...15 000 км, расстояния между пунктами наблюдения находятся в пределах 100...1500 км. Кроме того, при изучении поляризации колебаний частич среды и идентификации колебаний в поверхностной волне в пунктах наблюдений возникает необходимость определения азимута прихода фронтов волн в данную точку наблюдения.

Исходными данными для определения расстояния и азимута являются географические координаты источника излучения (эпицентра)  $\lambda_1$ ,  $\lambda_2$  и географические координаты пунктов регистрации сейсмических волн  $\varphi_1$ ,  $\varphi_2$ ,  $\lambda_1$  и  $\varphi_2$ ,  $\lambda_2$ . Координаты эпицентров даны в «Каталогах землетрясений» [6] с точностью до сотых долей радиуса, что составляет  $\sim 1,1$  км. Координаты пунктов регистрации можно определить графически с топокарт крупных масштабов с точностью до 0,1 км.

В общем случае расстояние между пунктами наблюдения, проходящее сквозь колебания в поверхностной волне за определенное время  $t$  будет [5]

$$r_2 - r_1 = d = v_\phi \cdot t, \quad (6)$$

где  $v_\phi$  — фазовая скорость распространения данной фазы колебаний. Из экспериментальных наблюдений можно принять, что для периода  $T=30$  с фазовая скорость волн Релея  $v_\phi=3,5$  км/с, тогда длина волны  $\lambda \sim 100$  км.

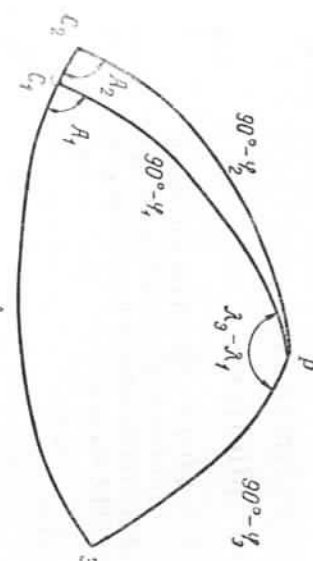


Схема расположения источника излучения волн и пунктов регистрации:  
— источник излучения сейсмических волн (эпицентр);  
— пункты регистраций;  
— полюс; А — угловой расстояние от источника излучения до соответствующего пункта наблюдения;  $A_1$  — азимут траектории распространения поверхности волны (поменьше к фронту волны).

Если расстояние между пунктами наблюдения  $r_2 - r_1 = 100$  км, время прохождения фазы колебания  $t = 28,6$  с, при  $r_2 - r_1 = 200$  км,  $t = 57,1$  с.

Продифференцировав (6), получим

$$\dot{m}_d = t \cdot m v_\phi + v_\phi \cdot \dot{m}_t.$$

Точность отсчета времени на сейсмограммах  $m_t = 0,1$  с, а так как  $m_t$  определяется из разности времени по двум записям, то  $m_t = m_t \sqrt{2}$ , т. е.  $m_t = 0,15$  с. Ошибки в определении скорости должна быть  $\pm 0,01$  км/с. Тогда  $\dot{m}_d = \pm 0,8$  км при  $d = 100$  км и  $\dot{m}_d = \pm 1,1$  км при  $d = 200$  км. Предельная ошибка определения  $\Delta d = \pm 2 - 3$  км.

Для определения расстояний и азимутов используем известные соотношения из сферической геометрии [2]. Рассмотрим сферический треугольник (см. рисунок). Из рисунка для  $C_1$  получим

$$\cos \Delta_1 = \sin \varphi_1 \sin \varphi_2 + \cos \varphi_1 \cos \varphi_2 \cos (\lambda_2 - \lambda_1); \quad (7)$$

аналогичное выражение получим для  $\Delta_2$ .

Азимут определяем из выражения

$$\cos A_1 = \frac{\sin \varphi_2 - \sin \varphi_1 \cos \Delta_1}{\cos \varphi_2 \sin \Delta_1}. \quad (8)$$

Точность вычисления расстояния и азимута в (7) и (8) зависит в основном от ошибок определения координат источника излучения, которые на порядок больше ошибок определения координат пунктов наблюдения.

Влияние ошибки установления положения источника значительное ослабляется в случае нахождения разности расстояний  $d = r_2 - r_1$ , относительно которой вычисляются фазовые скорости и коэффициенты затухания.

Определение расстояний и азимутов производилось с помощью ЭВМ. По координатам источника и пунктов наблюдений [6] рассчитывались расстояния  $\Delta_1$  и  $\Delta_2$ , азимутов  $A_1$  и  $A_2$ ; производился перевод с градусов в километры, определялась разность расстояний  $r_2 - r_1$ . Эти расчеты входили подпрограммой в комплексную программу вычисления спектральных характеристик поверхностных сейсмических волн.

Формулы (7) и (8) использовали для определения фазовых скоростей и коэффициентов затухания при исследовании структуры земной коры и ее физических свойств на профилях в Карпатском регионе и на Восточно-Европейской платформе.

Были рассчитаны коэффициенты затухания на профилях Львов—Ужгород и Минск—Львов. Амплитудные спектры рассчитаны в диапазоне периодов  $T = 15 \dots 30$  с, а для относительно более короткопериодных волн — в диапазоне  $T = 10 \dots 25$  с.

Для всех записей на кривых наблюдаются максимумы в диапазоне периодов  $20 \dots 30$  с. При прохождении поверхностных волн через складчатую область Карпат (профиль Львов—Ужгород) отмечено в большинстве случаев смещение максимумов в сторону более низких частот. Наблюдаются также общие уменьшения уровня спектральных амплитуд, затухание сильнее для сравнительно короткопериодных колебаний.

#### Коэффициенты затухания

Частота $\omega$ , Гц	Период $T$ , с	Коэффициент затухания $a_{\text{ср}} \cdot 10^{-4}$ , км $^{-1}$		Частота $\omega$ , Гц	Период $T$ , с	Коэффициент затухания $a_{\text{ср}} \cdot 10^{-4}$ , км $^{-1}$	
		Профиль Львов— Ужгород	Профиль Минск— Львов			Профиль Львов— Ужгород	Профиль Минск— Львов
0,200	31,4	1,26	1,51	0,268	23,4	0,86	1,40
0,204	30,8	1,32	1,63	0,272	23,1	1,58	1,52
0,208	20,2	1,27	1,90	0,276	22,8	0,99	1,24
0,212	29,6	1,44	2,15	0,280	22,4	1,02	0,93
0,216	29,1	1,53	2,24	0,284	22,1	1,22	0,81
0,220	28,5	2,04	2,07	0,288	21,8	1,39	0,73
0,224	28,0	1,84	1,78	0,292	21,5	1,75	0,72
0,228	27,6	2,33	1,64	0,296	21,2	2,20	0,72
0,232	27,1	1,57	1,76	0,300	20,9	2,05	0,65
0,236	26,6	0,87	2,08	0,308	20,4	2,49	0,68
0,240	26,2	0,67	2,50	0,316	19,9	2,15	0,77
0,244	25,8	0,52	2,61	0,324	19,4	1,40	1,13
0,248	25,3	0,84	2,27	0,332	18,9	1,17	0,85
0,252	24,9	1,42	1,95	0,340	18,5	1,26	0,53
0,256	24,5	1,45	0,348	18,1	1,37	0,33	0,53
0,260	24,2	1,10	0,356	17,6	0,57	0,53	0,43
0,264	23,8	0,73	1,28	0,364	17,3	0,48	0,43

В таблице приведены значения коэффициентов затухания на профилях Львов—Ужгород, Минск—Львов, которые получены как

$$\text{среднее значение из } n \text{ записей: } \alpha_{\text{ср}} = \frac{\sum_{i=1}^n \alpha_i}{n}.$$

Анализ результатов вычислений показывает, что значение эффективных коэффициентов затухания одинакового порядка как на профиле Львов—Ужгород, так и на профиле Минск—Львов и составляет  $0,5 \dots 2,5 \cdot 10^{-4} \text{ км}^{-1}$ . На профиле Львов—Ужгород наблюдается относительное увеличение значений коэффициента затухания с увеличением частоты. На профиле Минск—Львов отмечается относительное увеличение коэффициента затухания в диапазоне периодов  $T = 23 \dots 29 \text{ с}$ .

Относительное увеличение коэффициентов затухания на профиле Львов—Ужгород для более высокочастотных колебаний можно объяснить большим затуханием короткопериодных сейсмических волн при их прохождении в верхних частях земной коры Карпат, которая характеризуется значительной неоднородностью строения. По другим данным получены приблизительно такие же значения коэффициентов затухания для поверхностных волн  $\alpha = 1,2 \dots 3,5 \cdot 10^{-4} \text{ км}^{-1}$  [4]; для Карпато-Балканского региона го объемным волнам для глубин  $350 \dots 2000 \text{ км}$   $\alpha = 3,0 \dots 5,0 \times 10^{-4} \text{ км}^{-1}$  [3].

**Список литературы:** 1. Аношикова З. С., Кейлис-Борок В. И., Левин А. И. и др. Поверхностные волны. — М.: Наука, 1965. 2. Корн Г., Корн Т. Справочник по математике. — М.: Наука, 1973. 3. Кугас В. В. Оценка эффективных коэффициентов поглощения  $P$ -волн в оболочке Земли. — В кн.: Геофиз. сб. АН УССР, 1972, вып. 46. 4. Проскурюков Т. Д., Новотны О. Изучение строения Земли методом поверхностных волн. — М.: Наука, 1981. 5. Савицкий Е. Ф. Сейсмические волны. — М.: Недра, 1972. 6. Сейсмологический бюллетень за 1970—1976 гг. — М.: АН СССР, 1970—1976.

Статья поступила в редакцию 16.05.83

УДК 625.724:528.4:86

Л. В. ГОЖИЙ

## О ТОЧНОСТИ ДЕТАЛЬНОЙ РАЗБИВКИ КРУГОВОЙ КРИВОЙ СПОСОБОМ УГЛОВОЙ ЗАСЕЧКИ

Ранее мы сформулировали общий принцип оценки точности детальной разбивки круговой кривой и получили формулы для оценки точности разбивки способами прямоугольных координат, полярных координат и линейно-угловой засечки [3]. Цель настоящей работы — на основе общего принципа получить формулы для оценки точности детальной разбивки круговой спосо-

бом угловой засечки и установить практические достоинства по-слеженного.

При разбивке закругленный способ угловой засечки применяется редко, несмотря на то что он обладает весьма ценными качествами [5]. В частности, этот способ не требует выполнения линейных измерений, что делает его весьма эффективным при детальной разбивке кривых на участках, где линейные измерения затруднены (стремительно пересеченная местность, насыпи, костогоры, выемки и т. п.).

Способ угловой засечки позволяет осуществлять вынос точек кривой в натуру не только с концов базиса «начало кривой — конец кривой», но и из любых двух других точек кривой, что допускает, в случае необходимости, деление всей кривой в процессе разбивки на любое число частей. Применение способа не связано с необходимостью составления специальных таблиц для определения углов засечки, поскольку последние будут изменяться кратно значению центрального угла, стягивающего другой детальный разбивки  $k$ , который можно выбрать из таблицы 1.3, приведенной в [1]. Разбивка кривой способом угловой засечки возможна как с двух концов базиса одновременно (тогда потребуется три исполнителя работ и два угломерных инструмента), так и с каждого конца в отдельности с временным закреплением створа линии визирования в окрестности выносимой точки (тогда можно обойтись одним инструментом и двумя исполнителями). Наконец, рассматриваемый способ можно применять в сочетании с другими способами разбивки кривой.

Слабое распространение способа скорее всего можно объяснить тем, что в процессе построения круговых кривых в подавляющем большинстве случаев углы засечки малы, а угол при точке засечки может быть близким к  $180^\circ$ , и, соответственно, есть основание полагать, что ожидаемая точность определения планового положения выносимой точки будет невысокой. Однако практическое сравнение точности построения круговой кривой различными способами показало, что точность построения кривой способом угловой засечки нисколько не хуже точности построения ее любыми другими способами [2]. Объяснить такую ситуацию можно следующим образом.

Плановое положение точки, выносимой в натуру угловой засечкой с двух опорных точек, в одном из двух взаимноперпендикулярных направлений действительно определяется не совсем надежно, если угол при точке засечки близок к  $180^\circ$ . Однако качество построения собственно круговой кривой в данной точке в первую очередь зависит от погрешности  $\delta R$  построения ее радиуса, тогда как погрешность, действующая в перпендикулярном к радиусу направлении (погрешность, нарушающая равенство интервалов детальной разбивки  $\delta k$ ), имеет второстепенное значение. А погрешность  $\delta R$  будет минимальной именно тогда, когда угол при точке засечки близок  $180^\circ$ , т. е. когда углы засечки  $\alpha$  и  $\beta$  малы или даже близки к нулю. Чтобы получить формулы для подсчета погрешности  $\delta R$  (и соответствующей средней квадратической по-